

지기재 Phenol 수지의 Tracking에 미치는 온도특성

A Characteristic Temperature by tracking
on phenolic resin of basic paper

박동학

인천대학

권혁국*

승전대학원

1. 서론

유기고분자재료는 표면의 습윤 모순에 의한 누설전류가 흐르면 국부적으로 견조대가 형성되어 방전이 발생되고 부분적인 탄화열화가 진전된다. Plastic Cable 과 같은 고분자재료의 접연파괴진전의 경우 수년—수 10년이 걸려하는 과정에 형성되므로 장기수명에 대한 선별방법으로 가속시험의 여러 가지 방법이 연구되고 있다.

국제적인 내 Tracking 성 시험의 경우 일반적으로 인가전압특성 및 이상특성에 대한 연구는 수회 보고되고 있으며 Tracking 파괴에 있어서 이상특성의 발생요인으로서 견조대의 형성에 미치는 영향이 Tracking 발생에 높이 평가되고 있어 전극간의 전해액의 특성을 밝히는 것은 Tracking 을 해석하는데 중요한 문제로 생각된다.

따라서 본 연구에서는 Track 형성과정이 견조대의 형성에 미치는 온도특성을 고찰하였으며 이 온도특성과 Tracking 파괴후의 침식깊이를 검討하였다.

2. 금속전극에서의 용출금속량

(1) 동전극에서의 용출량

적하수 가 증가함에 따라 인가전압과 용출금속량은 특별한 관계가 없다.

또 전해액의 적하수 가 증가함에 따라 용출금속으로 인한 Track 이 형성됨이 관찰되는 데 이때

동가동 용출량(D_{cu})과 인가전압(V)와의 관계는 다음과 같은 관계식이 성립된다. (11)

$$D_{cu} = \alpha V^{-n} \quad (\text{mg/V.cm}^2)$$

$$\alpha = 0.152$$

$$n = 0.8$$

(2) 견조대의 형성과정

용출금속으로부터 Track 기점의 발생원인을 해명하기 위하여 용출금속의 분포를 고찰함은 중요하다고 하겠다.

전극간에 전해액을 적하시 누설전류로 인한 견조대의 형성과정은 전해액의 상태에 의존한다.

견조대의 형성과정은 전해액의 온도상승과 증발과정으로 분류할 수 있으며 전해액의 증발에 따라 전류치가 감소하는 것은 전해액의 증발로 세적이 감소되어 단면적이 저하하기 때문이다.

시료의 종류에 따른 견조대의 형성은 일반적으로 전극간에 존재하는 전해액의 형상과 관련하는 경우가 많으며 시료면의 접촉각이 상이하다.

이 접촉각의 변화에 따라 전해액의 형상은 쌍곡방물면과 유사하므로 이 방물면을 가정하여 단면적 S 를 계산하면

$$S = 2 \int_0^X (-Kx^2 + h)dx$$

h : 전해액의 높이

d : 전해액의 폭

3. 실험장치 및 실험방법

(1) 실험장치

실험장치는 I.E.C. 추장 4 Tracking 성(습식법)
(1)
시험방법에 따른 규정에 준하였으며 그 구성회로
는 그림(1)과 같다.

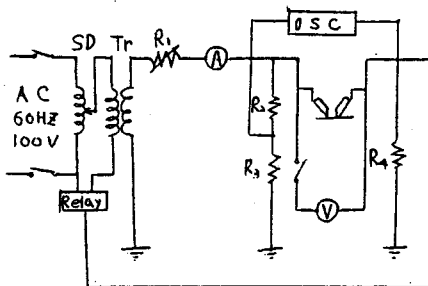


fig 1 Experimental Circuit

SD: slidac Tr: transformer

R1, R2, R3, R4.: Resistance

OSC: oscilloscope

(가) Tracking 판정회로

Tracking 파괴의 기준 조건에 따라 2차회로 전류가 1(A)에서 2(sec) 이내에 차단되도록 하였다.

(나) 전극 배치

전기동 꼴날형전극을 사용하였으며 부식의 제제로서 중탄산칼슘을 배회 도포하였다.(구조: 인천대학 논문집 제5집 참조)

(다) 적하수

전극간에 적하하는 전하액은 0.1 - 0.5% 중량의 NH_4Cl 수용액(순정화학C_O)으로 20°C에서의 저항률이 400 μm 이며 적하량은 50滴의 평균 용적으로 $20 \pm 0.5(\text{mm}^3)$ 가 되도록 하였다.

시료는 난연성 금속화합물을 내포하지 않는 지기재 Phenol 적층판이며 크기를 $35 \times 25 \times 2\text{mm}$ 로 절단하여 예열압출로 세척하여 48시간이상 건조함 속에서 건조후 표면특성을 30-50배의 현미경으로 관찰하여 특성이 가능한 일치되도록 하였다.

(2) 실험방법

전극간에 전해액을 적하하는 방법 및 측정치의 처리는 I.E.C. Draft 15A(Central-office) 32. 1977.에 준했다.

각 시험전압하에서 시료의 개수는 5개이상으로 tracking 파괴가 발생시까지 적하후 5(sec)마다 일전대(직경 0.2mm의 등-콘스 만판)로 온도를 측정하여 평균치를 구한다.

tracking 이 파괴된 시료는 HCl에 넣어 30분간 가열한 후 종류수로 세척하여 건조함 속에서 건조 시켜 현미경으로 촬영하여 두께를 측정한다.

4. 실험결과 및 고찰

(1) NH_4Cl 의 함량에 따른 tracking 파괴.

동전극을 사용하는 경우 track 의 기점은 용출 금속의 발생점으로부터 신장되어 전전되는 경우가 많으며 tracking 발생 직전의 영역(이하 건조 대라함)은 전극의 재질인 가진압 및 인가시간에 따라 형상이 일치하지 않는다.

그 원인은 전계의 형성 암화물의 화학적작용동의 영향이 있는 것으로 생각되며 그림 2는 NH_4Cl 에 따른 tracking 발생시까지의 인가전압에 대한 특성은 시료의 특성이 초기에 Cathode 소극 제로에서 작용할때는 암의 농도가 증가함에 따라 tracking의 파괴속도는 거의 반비례하여 증가하다가 0.2% 이상에서는 완만해짐을 고찰할 수 있다.

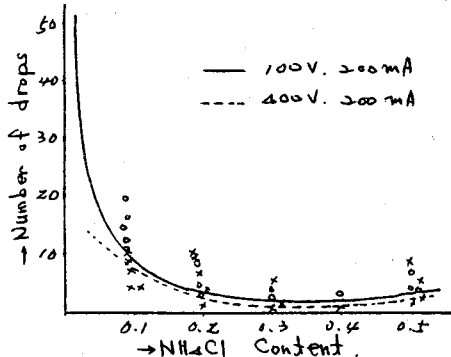


Fig 2 Relation between NH_4Cl content and Number of drops.

(2) 건조대 형성과정의 전해액의 온도

건조대의 형성위치는 인가전압에 따라 다르다. 인가전압이 낮을 때는 전극단으로 부터 track의 기점이 형성되기 시작하여 높은전압에서는 전극과 중앙부분으로 부터 형성된다.

그림 3은 적하수를 5적씩 적하후의 전해액의 온도변화이다.

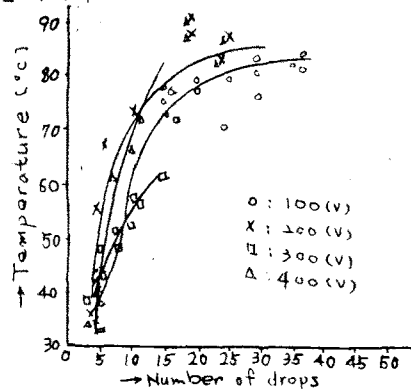


Fig. 3. Relation between number of Drops and Temperature

(3) 전해액의 온도변화와 침식깊이.

그림 4는 tracking 발생직전의 전해액의 온도변화와 발생후의 침식깊이를 나타낸 것이다.

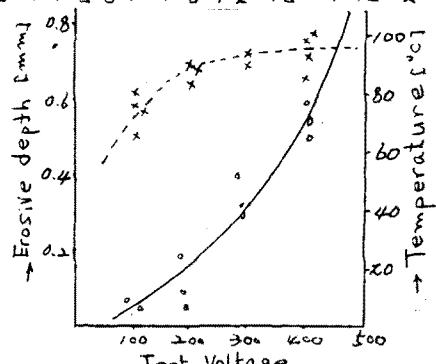


Fig. 4 Relation among Test Voltage, Erosive depth and Temperature

전해액 적하후 건조대가 형성되기까지는 온도상승과 더불어 누설전류가 증가하는 온도상승 과정과 전해액이 증발함에 따라 누설전류가 감소되는 증발과정으로 구분되는데 인가전압이 낮을 경우에는 증발과정은 일확산에 의하여 전극 단의 전해액의 온도가 상승하여 건조대를 형성

하여 인가전압이 높을 경우에는 전극단의 온도가 상승하여 단면적이 전극의 중앙부분에 집중되어 온도가 급히 상승하여 건조대는 전극과 중앙부분에 형성된다. 이와같이 건조대의 형성과정에서 방전이 발생되어 침식이 생기는 것으로 생각된다.

5. 결론

I.E.C. Pub 112 내 Tracking성 시험법에 의한 Tracking파괴시의 방전현상에 미치는 온도 특성 옻출속의 영향 침식깊이와의 관계를 경보하여 다음과 같은 결론을 얻었다.

(1) 전해액의 온도상승은 증발이 개시되는 위치와 대응하고 있다.

100(V)에서는 건조대가 형성되지 않더라도 Track이 형성되어 불꽃방전이 발생되어 침식이 진전된다.

따라서 Tracking파괴는 건조대의 형성에만 의존하지 않으며 저전압에서도 발생될 수 있다.

(2) 200(V) 이상에서는 전극단의 온도가 상승하여 전해액은 전극 중앙에 집중되어 국부적인 온도상승에 의하여 급속히 증발 분비되면서 인가전압이 높아질수록 강한 불꽃방전이 발생되어 침식이 심하게 진전된다.

(3) Tracking으로 인한 침식의 진전은 여러 모로 불분명한 보고서가 제출되고 있지만 본 논문에서는 건조대와의 관계를 고찰하였음에 특징이 있으므로 건압이 건조대의 형성속도와의 관계를 해석함은 Tracking파괴를 연구하는데 중요한 자료가 될 것이다.

이상과 같은 결론에서 Tracking의 기인요소 중 건조대의 형성과의 관계는 괄목할만한 가치로서 많은 연구가 있을 것으로 기대되는 바이다.

참 고 문 헌

1) Draft Appendix to I.E.C. Pub 112, 1952.

12, 1967, 6, 1971, 12

- 2) Draft Appendix to I.E.C. 15A (Central Office) 32, 1977.
- 3) Mandelcorn, L. & Sommerman, G.M. "Tracking and arc resistance of materials proc," Electrical Insulation Conf. 1963.
- 4) Kaufmann, W, "A testing method for tracking resistance of insulating paths" (in German) Electrotech, Z. Ausg. A, 83 801-7, 1962
- 5) Method for determining the comparative tracking index of Solid insulating material, B.S. 378, 1964.
- 6) N. Yoshimura, M. Nishida & F. Noto: "Influence of the electrolyte on tracking breakdown of organic insulating materials" I.E.E.E Trans., Elect, Insul. EI-16. 510, 1981.
- 7) K.T.L. Paciorek, R.H. Kratzer, F.F. (Lee, J.H. Nakahara, D.H. Harris,): "Moist Tracking Investigation of organic Insulating materials" I.E.E.E. Trans Elect Insul. Vol EI-17. No. 5. 1982.
- 8) トラッキング現象とトランキング性試験法と動向. 日本電気学会技術報告, 第36号, 1982. 1.
- 9) 吉村・西田・能登「有機絶縁材料のトランキング破壊記述における炭化過程」日本電気学会論文集 A. 1982. 8.
101. 429.
- 10) 沢村・能登「紙基材エレメント樹脂トランキングにおける金属の影響」日本電気学会論文集 A. 1979. 439~445.
- 11) 西田・吉村・能登「有機絶縁材料表面トランキング破壊における乾燥帯の形成過程」日本電気学会論文集 A. 1983
193~199.
- 12) 神. 「金属電気化学」日本共立出版社.
1976. 124
- 13) 電気学会. Treeing 現象에 对する最近の動向. 1983. 5.